

# ВЗАЙМОДЕЙСТВИЕ НОСИТЕЛЕЙ ЗАРЯДА В МНОГОЧАСТИЧНЫХ ЭКСИТОН-ПРИМЕСНЫХ КОМПЛЕКСАХ В КРЕМНИИ

*A. С. Каминский, В. А. Карасюк, Я. Е. Покровский*

Показано, что в кремнии, легированном фосфором, "естественная" ширина линий излучения связанного экситона не превышает 5 мкэВ, а линии излучения многочастичных комплексов состоят из большого числа компонент, расщепление на которые объяснено взаимодействием как между дырками, так и между дырками и внешними электронами.

В настоящей работе интерференционным методом [1] исследованы форма и тонкая структура бесфононных линий излучения  $\alpha_m$  многочастичных экситон-примесных комплексов  $P_m$ , связанных на атомах фосфора в кремнии ( $m$  – число электронно-дырочных пар). Тонкая структура возникает в результате взаимодействия носителей заряда в комплексах, расщепляющего начальные  $P_m$  и конечные  $P_{m-1}$  состояния [2, 3].

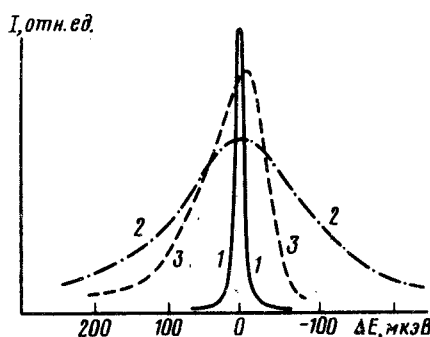


Рис. 1. Бесфононные линии излучения экситонов, связанных на атомах фосфора (концентрация  $P_o = 2 \cdot 10^{14} \text{ см}^{-3}$ ) в кремнии при 4,2К. Нейтронно легированный образец СВ-1: 1 – линия  $\alpha_1$ ; 2 – линия  $\alpha_1^{2S}$ . Образец с концентрацией кислорода  $7 \cdot 10^{17} \text{ см}^{-3}$ , выращенный из кварцевого тигля: 3 – линия  $\alpha_1$ .

Линия  $\alpha_1$  не должна иметь тонкой структуры, поскольку в начальном состоянии  $P_1 \{\Gamma_8(h)\Gamma_1(ee)\}$  два электрона образуют синглет  $\Gamma_1(ee)$  и не могут расщеплять дырочный уровень  $\Gamma_8$ , а в конечном состоянии  $P_o \{\Gamma_1(e)\}$  имеется лишь один электрон. Поэтому анализ формы линии  $\alpha_1$  позволяет судить об уширении и расщеплении линий излучения комплексов, не связанном с взаимодействием носителей заряда. Из рис. 1 видно, что наиболее узкая линия  $\alpha_1$  наблюдается в кристаллах кремния, выращенных методом бестигельной зонной кристаллизации и легированных фосфором путем облучения нейtronами. Ширина линии  $\alpha_1$ , с учетом конечного разрешения, не превышает 5 мкэВ. При распаде  $P_1$  с рождением донора  $P_o$  в возбужденном  $2S$  состоянии линия  $\alpha_1^{2S}$  сильно уширена по сравнению с  $\alpha_1$  вследствие малого времени жизни ( $\sim 5 \cdot 10^{-12}$  сек) возбужденного состояния. В кристаллах, выращенных из кварцевых тиглей и поэтому содержащих кислород в значительной ( $\sim 10^{18} \text{ см}^{-3}$ ) концентрации, наблюдалось сильное неоднородное уширение линии  $\alpha_1$ . По-видимому, несовершенство кристаллов, исследованных в [3], привело к уширению линии  $\alpha_1$  до 50 мкэВ, неудовлетворительному разрешению структуры линии  $\alpha_2$  и ошибочной интерпретации результатов.

Из рис. 2 видно, что линия излучения  $a_2$  состоит из большого числа компонент, расщепление на которые связано с взаимодействием носителей заряда в начальном  $P_2\{\Gamma_8(hh)\Gamma_1(ee)\Gamma_{35}(e)\}$  и конечном  $P_1\{\Gamma_8(h)\Gamma_1(e)\Gamma_{35}(e)\}$  состояниях. Основные особенности этого расщепления можно объяснить, учитывая лишь взаимодействие между дырками и обменное взаимодействие дырок с электроном внешней оболочки  $\Gamma_5$ .

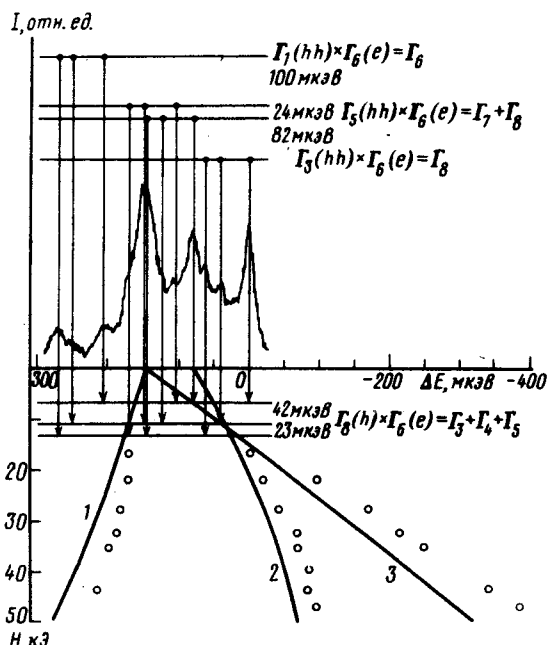


Рис. 2. Тонкая структура линии  $a_2$  образца СВ-1 при 2 К и  $H = 0$ . Стрелки, изображающие переходы из начального  $P_2$  в конечное  $P_1$  состояние, указывают ожидаемое положение линий излучения на горизонтальной оси энергий в соответствии с приведенными на схеме величинами расщеплений уровней  $P_2$  и  $P_1$ . В нижней части рисунка — положение зеемановских компонент линии  $a_2$  (кружки) в зависимости от напряженности магнитного поля  $H \parallel (111)$ . Там же — зависимость смещения от  $H$  зеемановских компонент линии  $a_1$  (сплошные кривые) для аналогичных электронных переходов

Взаимодействием с электронами в оболочке  $\Gamma_1$  можно пренебречь, поскольку в  $P_2$  эта оболочка заполнена, а в  $P_1$  остается электрон на сильно локализованной орбитали, который не должен сильно взаимодействовать с остальными носителями заряда. Электронная оболочка  $\Gamma_3$  при 2К должна быть слабо заселена, так как по крайней мере в  $P_1$  она лежит выше оболочки  $\Gamma_5$  приблизительно на 600 мкэВ [4]. Так как анизотропия эффективной массы электронов в кремнии не очень велика и кристаллическое расщепление  $\Gamma_8(h) \times \Gamma_5(e)$  должно быть незначительным, будем считать, что волновая функция электрона оболочки  $\Gamma_5$  преобразуется как спинор  $\Gamma_6$ . В этих приближениях начальное состояние в комплексе  $P_2$  должно расщепиться на четыре уровня  $\{\Gamma_8(h) \times \Gamma_8(h)\} \times \times \Gamma_6(e) = \Gamma_6 + \Gamma_7 + \Gamma_8 + \Gamma_9$ . Конечное состояние  $P_1$  расщепляется на три уровня  $\Gamma_8(h) \times \Gamma_6(e) = \Gamma_3 + \Gamma_4 + \Gamma_5$ . Схема расщеплений для объяснения структуры линии  $a_2$  приведена на рис. 2. Для сравнения экспериментального спектра со схемой стрелка, соответствующая излучательному переходу с минимальной энергией, совмещена по горизонтальной энергетической шкале с положением самой длинноволновой компоненты спектра, а положение остальных стрелок, изображающих переходы, опре-

зеляются значениями расщеплений начального и конечного состояний, указанными на схеме. Из рис. 2 видно, что предложенная схема хорошо описывает структуру линии  $\alpha_2$ .

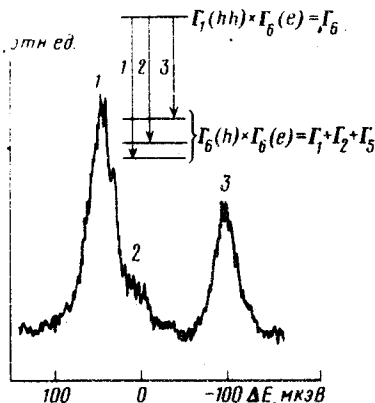


Рис. 3. Тонкая структура линии  $\alpha_2$  при 2 К и сжатии (390 кГ/см<sup>2</sup>) образца СВ-1 в направлении (001)

В магнитном поле  $H \geq 20$  кЭ зеемановский спектр  $\alpha_2$  состоит из трех основных компонент [5]

$$P_2 \left\{ \Gamma_8 \left( -\frac{3}{2}, -\frac{1}{2} \right) \Gamma_1 \left( +\frac{1}{2}, -\frac{1}{2} \right) \Gamma_5 \left( -\frac{1}{2} \right) \right\} \rightarrow P_1 \left\{ \begin{aligned} & \left\{ \Gamma_8 \left( -\frac{1}{2} \right) \Gamma_1 \left( -\frac{1}{2} \right) \Gamma_5 \left( -\frac{1}{2} \right) \right\} \\ & \left\{ \Gamma_8 \left( -\frac{3}{2} \right) \Gamma_1 \left( +\frac{1}{2} \right) \Gamma_5 \left( -\frac{1}{2} \right) \right\} \end{aligned} \right. \quad (1)$$

$$\left. \begin{aligned} & \left\{ \Gamma_8 \left( -\frac{1}{2} \right) \Gamma_1 \left( -\frac{1}{2} \right) \Gamma_5 \left( +\frac{1}{2} \right) \right\} \\ & \left\{ \Gamma_8 \left( -\frac{3}{2} \right) \Gamma_1 \left( +\frac{1}{2} \right) \Gamma_5 \left( +\frac{1}{2} \right) \right\} \end{aligned} \right. \quad (2)$$

$$\left. \begin{aligned} & \left\{ \Gamma_8 \left( -\frac{3}{2} \right) \Gamma_1 \left( +\frac{1}{2} \right) \Gamma_5 \left( -\frac{1}{2} \right) \right\} \\ & \left\{ \Gamma_8 \left( -\frac{1}{2} \right) \Gamma_1 \left( -\frac{1}{2} \right) \Gamma_5 \left( +\frac{1}{2} \right) \right\} \end{aligned} \right. \quad (3)$$

положение которых в зависимости от  $H$  приведено на рис. 2. Там же сплошными линиями представлена зависимость от  $H$  смещения зеемановских компонент линии  $\alpha_1$  для соответствующих электронных переходов. Из рис. 2 видно, что зависимость смещения зеемановских компонент для линии  $\alpha_2$  достаточно близка к зависимости для аналогичных компонент линии  $\alpha_1$ . Это обстоятельство было использовано при идентификации переходов и позволило надежно выделить области спектра линии  $\alpha_2$ , из которых происходят соответствующие зеемановские компоненты. Видно, что компоненты 1 и 3 линии  $\alpha_2$  возникают из одной и той же области спектра при  $H = 0$ , а компонента 2 возникает из другой области исходного спектра. Отсюда следует, что основной вклад в расщепление конечного состояния  $P_1$  дает взаимодействие между дыркой и электроном внешней оболочки  $\Gamma_5$ , а взаимодействие с электроном оболочки  $\Gamma_1$  не приводит к заметному расщеплению.

При сжатии кремния в направлении (001) симметрия понижается до  $D_{2d}$  и низшим энергетическим состоянием дырок является  $\Gamma_6$  с моментом 1/2, вырожденное лишь по спину. Электронное состояние  $\Gamma_1$  не

расщепляется, а состояние  $\Gamma_{35}$  расщепляется на ряд ветвей, низшая из которых соответствует невырожденному состоянию  $\Gamma_4$ . Таким образом, при одноосном сжатии основное состояние  $P_2$  не расщеплено. Конечное состояние  $P_1$  расщепляется на три  $\Gamma_6(h) \times \Gamma_6(e) = \Gamma_1 + \Gamma_2 + \Gamma_5$  вследствие обменного взаимодействия дырки с электроном из внешней оболочки  $\Gamma_4$ . Спектр линии  $\alpha_2$  при одноосном сжатии вдоль (001) приведен на рис. 3 вместе со схемой переходов. Отметим, что при растяжении вдоль оси (001) линия  $\alpha_2$  также является триплетом, что подтверждает правильность выбранных приближений.

Таким образом, предложенная модель позволяет объяснить тонкую структуру линии  $\alpha_2$  и ее расщепление в магнитном и деформационных полях.

Спектры линий  $\alpha_3$  и  $\alpha_4$  несимметричны и имеют большое число особенностей, указывающих на то, что они состоят из многих компонент. Однако отдельные компоненты не удалось разрешить. Возможно, что это связано с заметным уширением компонент, поскольку при испускании линии  $\alpha_m$  комплексы  $P_{m-1}$  рождаются в возбужденном состоянии. При этом время релаксации одного из  $m-1$  электронов оболочки  $\Gamma_{35}$  в частично заполненную оболочку  $\Gamma_1$  должно уменьшаться по мере возрастания  $m$ .

Институт радиотехники  
и электроники АН СССР

Поступила в редакцию  
3 декабря 1980 г.

### Литература

- [1] А.С.Каминский, В.А.Карасюк, Я.Е.Покровский. ЖЭТФ, 79, 422, 1980.
- [2] G.Kirczenow. Can. J. Phys., 55, 1787, 1977.
- [3] R.R.Parsons. Solid. State Comm., 22, 671, 1977.
- [4] C.Chang, T.C.Mc Gill. Phys. Rev. Lett., 45, 471, 1980.
- [5] В.Д.Кулаковский, А.В.Маявкин, В.Б.Тимофеев. ЖЭТФ, 76, 272, 1979.